

АКАДЕМИЯ НАУК СССР

НАУЧНЫЙ СОВЕТ ПО ИНЖЕНЕРНОЙ ГЕОЛОГИИ
И ГИДРОГЕОЛОГИИ

ПРОИЗВОДСТВЕННЫЙ И НАУЧНО-ИССЛЕДОВАТЕЛЬСКИЙ
ИНСТИТУТ ПО ИНЖЕНЕРНЫМ ИЗЫСКАНИЯМ
В СТРОИТЕЛЬСТВЕ ГОССТРОЯ СССР

Учебник

ИЗУЧЕНИЕ СВОЙСТВ МАССИВОВ ПОРОД И ГЕОЛОГИЧЕСКИХ ПРОЦЕССОВ

Ответственные редакторы

кандидат геолого-минералогических наук
Н.Л. ШЕШЕНИЯ

кандидат технических наук
Ю.Д. ЗЫКОВ



МОСКВА "НАУКА" 1986

Табл. 2 (продолжение)

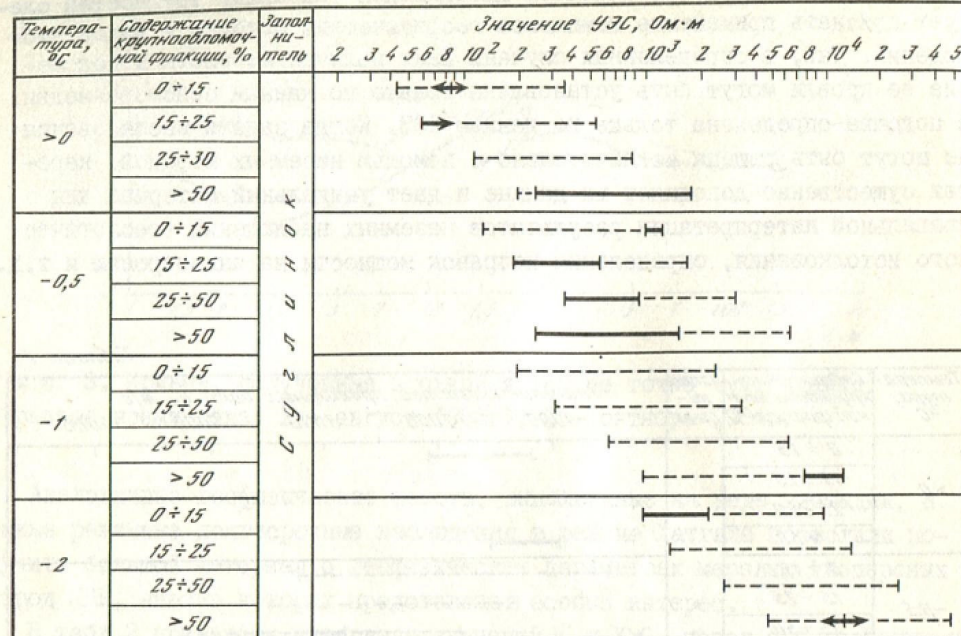
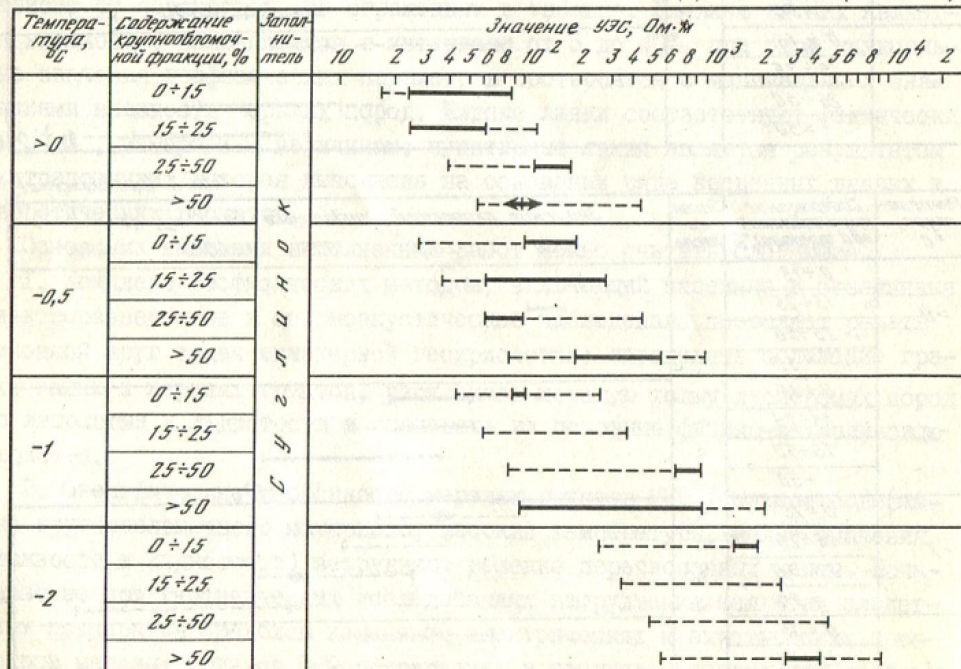


Табл. 2 (окончание)



4. Интенсивные изменения глубины промерзания и температуры мерзлых грунтов, а также геофизических параметров сезонно-тального слоя требуют четкой фиксации сроков проведения работ и корректировки материалов при сопоставлении результатов разновременных исследований. В отдельных случаях планирование оптимальных сроков выполнения работ может помочь в определении мощности СТС.

Л и т е р а т у р а

- Горянин Н.Н., Скворцов А.Г., Кирюнин А.В. Опыт применения сейсмоакустических методов при инженерно-геологических исследованиях рыхлых пород // Использование геофизических методов при гидрогеологических и инженерно-геологических исследованиях. М.: ВСЕГИНГЕО, 1975. С.26-39.
- Зыков Ю.Д., Рождественский Н.Ю., Черванская О.П. Упругие и электрические свойства сильнольдистых мерзлых пород и льда // Проблемы геокриологии: Материалы к IV Международной конференции по мерзлотоведению. М.: Наука, 1983. С.II8-127.
- Рекомендации по применению геофизических методов для определения инженерно-геологических характеристик мерзлых дисперсных грунтов. М.: Стройиздат, 1984. 32 с.
- Хазин Б.Г., Низамутдинов Д.Х. О соотношении между динамическими и статическими показателями упругости мерзлых грунтов // Тр.НИИпромстрой. 1974. Вып.14. С.209-214.

УДК 624.131:551.442

ВОПРОСЫ МЕХАНИЗМА ОБРАЗОВАНИЯ КАРСТОВЫХ ПРОВАЛОВ В ПЕСКАХ

О.Б.Нещеткин

Многочисленные исследования механизма провалообразования описывают основные процессы, происходящие в грунтовой толще. Однако они имеют некоторые недостатки, не позволяющие широко использовать предлагаемые схемы образования провалов при освоении закарстованных территорий. Эти схемы не имеют целостности, некоторые из них, охватывая весь процесс, состоят из элементов, сильно отличающихся по своей достоверности. Результаты лабораторного моделирования часто непосредственно переносятся на природу, а выход провала на поверхность не исследуется с достаточной подробностью. Кроме того, достоверность большинства схем не подтверждена полевыми исследованиями.

Наиболее целесообразно создание схемы провалообразования на основе исследований существующих в природе провальных форм, в морфологических особенностях и законах распределения параметров которых отражены многие элементы механизма образования.

В геологическом строении толщи исследуемого района, затронутой активным карстовым и провальным процессами, принимают участие раннепермские гипсы и ангидриты (P_{IS}), позднепермские известняки и доломиты

(P_{2Kz}) мощностью до 20 м, размытые повсеместно и имеющие островной характер распространения, позднепермские глины, алевролиты (P_2t), подверженные размывам и имеющие мощность до 21 м; среднечетвертичные-голоценовые пески (Q_{II-IV}) мощностью 20–65 м. Имеются два водоносных горизонта: грунтовых вод в песках с уровнем на глубине 5–10 м и напорных вод в карстующих породах с пьезометрическим уровнем, близким к уровню грунтовых вод. В районе зарегистрировано значительное количество деформаций поверхности в виде провалов и оседаний.

В рассмотренных условиях целесообразно выделение таких фаз провалообразования, которые соответствуют толщам карстующихся и глинистых водоупорных пород, водонасыщенных и влажных песков.

I фаза отвечает процессу водообразования. Результаты бурения свидетельствуют, что большинство полостей в районе располагается на контакте карстующихся пород с глинистыми отложениями. При этом возможны три варианта разрушения водоупора, слагающего кровлю полости: прогибание кровли с образованием сквозных нарушений, прогибание кровли с вывалом блока пород, водообразование в кровле полости с последующим обрушением пород. В первом варианте ведущим процессом образования провала будет супфузия, в остальных – гравитационное обрушение.

С момента зарождения карстовой полости начинается изменение напряженного состояния окружающих ее пород, кровля полости стремится приобрести устойчивую форму в виде свода, который по мере роста полости также будет расти, причем каждый последующий свод будет круче предыдущего [2]. При некоторой критической ширине полости происходит обрушение свода. Прогибание толщи водоупора и последующее обрушение пород является менее вероятным событием, хотя именно такой механизм обрушения кровли полости получен на моделях из эквивалентных материалов [5]. Однако эти результаты неадекватны природным провалам из-за различной скорости развития полостей в природе и моделях. Возникновение сквозных нарушений в результате прогибания кровли при достижении полостью критической ширины [7] тоже маловероятно, так как требуется значительная амплитуда прогибания, что приведет к появлению на поверхности деформаций типа просадки или обрушения кровли. Процесс образования сквозных нарушений более сложен и может быть связан с вскрытием в водоупоре развивающимися сводами крупных трещин или раскрытием их в кровле карстовых полостей в массивах гипсов при отсутствии водоупора. Поэтому процесс супфузии через сквозные нарушения не может иметь регионального характера. Наиболее вероятным механизмом разрушения кровли полости является процесс водообразования. В пользу этого говорят результаты бурения в провалах, подтверждающие уменьшение мощности глинистых отложений, обрушившихся в карстовые полости.

II фаза отвечает гравитационному обрушению и разрушению (разжижению) песка под воздействием гидродинамических сил. Механизм деформации водонасыщенных песков в природе наблюдать трудно. Можно предположить,

что отмеченные деформации приведут к образованию промежуточной заполненной водой полости, двигающейся вверх [3, 5, 7]. Достигнув уровня грунтовых вод, промежуточная полость будет стремиться принять форму перевернутого конуса с углом наклона образующей, близким к углу естественного откоса водонасыщенных песков.

III фаза соответствует образованию провалов различной формы. Одновременно с изложенным выше процессом влажные пески начинают обрушаться и в них возникает новая промежуточная полость, свод которой также будет стремиться принять устойчивую форму. По общепринятыму мнению, выход провала на поверхность возможен в виде обрушения круглоцилиндрического массива грунта в промежуточную полость критического размера или при непосредственном выходе свода на поверхность в результате роста промежуточной полости [5–7]. Отсюда следует, что в изучаемых природных геологических условиях промежуточные полости некоторых объемов не могут выйти на поверхность. Измерения параметров провалов показали, что в одних и тех же геологических условиях в непосредственной близости друг от друга возникают провалы различных объемов, в том числе и такие, которые согласно принятым схемам произойти не могут. Это свидетельствует о том, что промежуточная полость во влажных песках должна двигаться вверх.

Анализ применяемой цилиндрической модели сдвижения грунта в полость выявляет ряд неточностей этой модели: согласно уравнению предельного равновесия, диаметр сдвигающегося круглого цилиндра должен быть равен диаметру полости [8], но не ее части [2, 5, 7]; использование цилиндрической модели для описания сдвижения грунта в полость, имеющей свод, поскольку такая модель справедлива для плоской потолочки. Непосредственный выход свода на поверхность при последовательном расширении полости маловероятен, так как деформация кровли полости начнется раньше, чем она достигнет поверхности.

Представляется целесообразным рассмотрение механизма деформации промежуточной полости на основе экспериментально и теоретически установленных в специальной литературе закономерностей распределения напряжений вокруг горных выработок. Концентрация напряжений ограничивается зоной влияния выработки, вне пределов которой изменение напряжений не превышает 2–3% их первоначальных величин [4]. Следовательно, до некоторой глубины, определяемой размерами зоны влияния полости, поле напряжений промежуточной полости, принявшей устойчивую форму, будет оставаться неизменным. Со временем на это поле начнет оказывать влияние дневная поверхность. Это вызовет новое перераспределение напряжений и изменение формы полости на более устойчивую. Дальнейшее продвижение полости вверх и нарастание влияния дневной поверхности приведет к нарушению устойчивости полости, обрушению в нее вышележащего грунта и появлению на поверхности провала. Анализ распределения напряжений вокруг выработки эллиптической формы [4] показывает, что разрушение начинается в сводовой части.

Раскопки провалов позволили определить ряд закономерностей их строения и уточнить механизм обрушения грунта (рис. I). В центре провалов выявлено наличие опущенных блоков грунта квазицилиндрической формы. Амплитуда их смещения незначительна, зона деформации устанавливается косвенно по изгибу границ между слоями. Поэтому смещение этого блока происходит с небольшим опережением по отношению к остальной части обрушившихся пород. Строение краевых частей провалов показывает, что такое обрушение происходит с разделением его на блоки, ограниченные параболами. Поскольку понижение в центральной части характерно для большинства провалов в исследованном районе, можно предполагать наличие единого механизма обрушения пород в промежуточную полость.

В зависимости от свойств песков провал может принять первоначально сводообразную, цилиндрическую, различные конические формы. Причем последние образуются при разрушении краевых частей провалов часто с образованием трещин и ступеней, плоскости которых располагаются не ниже дна провалов. Интересен факт значительного сходства изложенной схемы

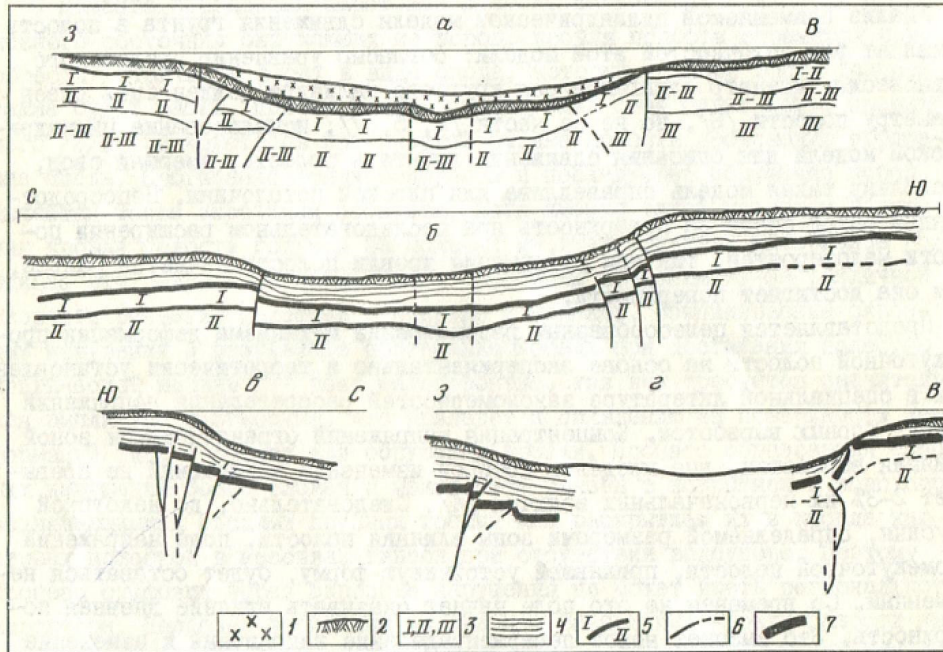


Рис. I. Строение провалов №92 (а) и №131 (б, в, г)

I - переотложенный грунт; 2 - почва; 3 - песок (I - темно-коричневый, II - светло-коричневый, III - желтый); 4 - песок серый; 5 - границы между слоями разноцветных песков; 6 - обнаруженные и предполагаемые зоны деформаций; 7 - древняя погребенная почва с глинистым материалом

образования провалов во влажных песках и результатов экспериментов по изучению механизма деформации полостей в водонасыщенных песках /1/.

Согласно изложенной схеме выхода провала на поверхность, его форма связана с размерами промежуточной полости. От этих размеров зависит появление провалов просадочного типа, форма усеченного конуса, чашеобразных и конусообразных провалов (рис. 2а, б, в). Кроме таких форм в районе исследования наблюдаются провалы с диаметрами до 40 м и глубиной до 10 м, осложненные ступенями и несколькими рядами трещин. Очевидно, они образуются в результате одновременного обрушения всей толщи покрывающих отложений в крупную карстовую полость или в систему крупных полостей (рис. 2, г).

Если принять гипотезу о сходстве механизма разрушения промежуточных полостей в различных толщах покрывающих отложений, то выявляется четкая зависимость форм промежуточных полостей и провалов от размеров карстовых

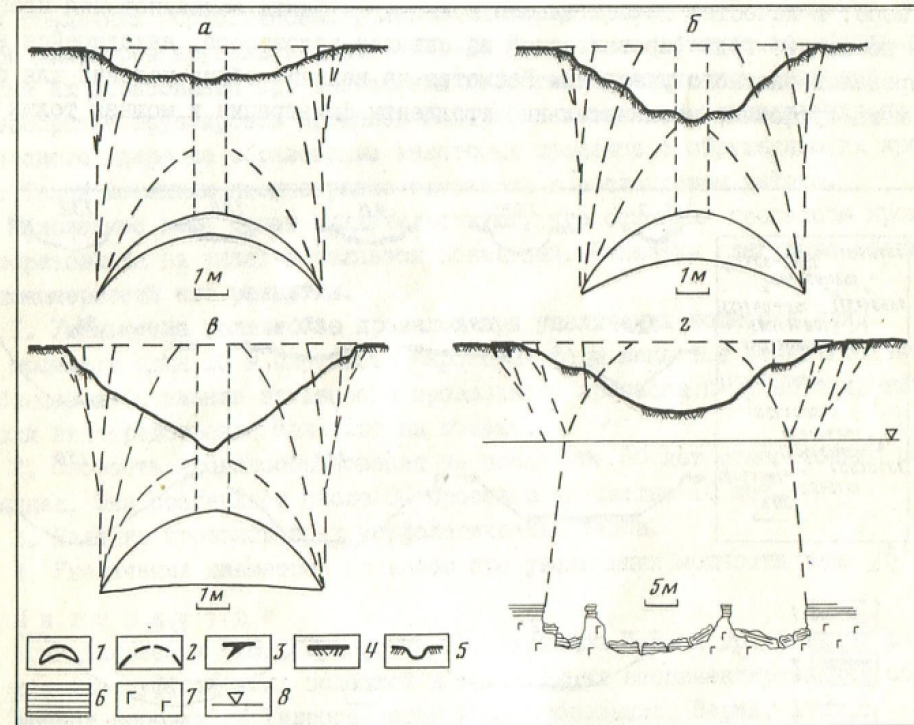


Рис. 2. Схема образования провалов просадочной формы (а), усеченного конуса (б), чашеобразных конусообразных (в), крупных размеров (г)

1 - промежуточная полость; 2 - контуры обрушающихся блоков; 3 - трещины; 4 - почва; 5 - контуры провалов; 6 - водоупорные отложения; 7 - карстующиеся породы; 8 - уровень грунтовых вод

вых полостей при обрушении их кровли. Вероятно, формы субфлюзационных провалов близки к чашеобразным, конусообразным, так как промежуточные полости будут стремиться принять параболическую форму с плоским основанием. Отсюда появляется возможность получения информации о механизме провалообразования по внешним формам и строению провалов.

С этой целью были проведены исследования на одном из опорных участков в районе водозабора, характеризующемся специфическим развитием провального процесса. Здесь с 1967 по 1984 г. произошло 14 провалов. Причем 10 из них – за последние 2–3 года (рис.3). В геологическом строении района водозабора принимают участие пески мощностью 30–40 м, глины и алевролиты мощностью 10–15 м, известняки мощностью около 8–15 м, подстилаемые гипсово-ангибитовой толщей (в пределах водозабора скважинами не вскрыты). Откачки ведутся из грунтовых (с 1938 г.) и карстовых (с 1960 г.) вод. В настоящее время уровень грунтовых вод находится на глубине 15–20 м и превышает пьезометрический уровень карстовых вод на 5–6 м. По мнению большинства исследователей, образование провалов в этом районе связано с субфлюзией песков через сквозные нарушения в водоупоре. В качестве доказательств приводятся факты возникновения провалов в последние годы (провал одной из скважин водозабора, находящейся вне пределов опорного участка). Несмотря на наличие общих условий для развития субфлюзии, незначительные градиенты фильтрации и мощная толща водоупора ставят под сомнение возможность развития здесь активных субфлюзационных процессов. Провал скважины является единственным случаем на территории водозабора (за исключением опорного участка) и, вероятней всего, объясняется возникновением и разрушением субфлюзационной полости в песках, из которых идет водоотбор. Заметим, что ни одна из скважин на территории водозабора не вскрыла карстовых полостей и зон разрушенных пород.

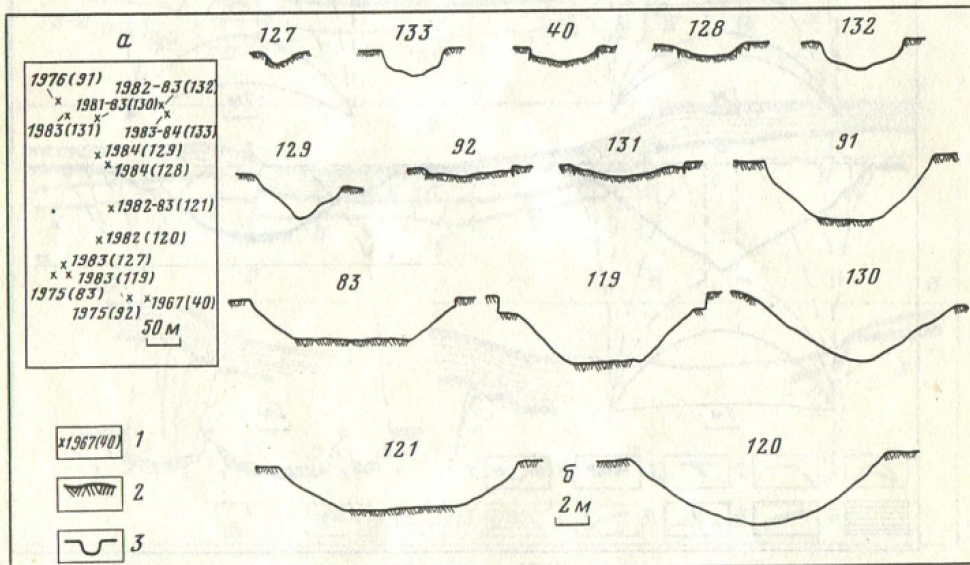
Образование провалов на рассматриваемом локальном участке говорит о различном строении этого участка и территории водозабора. Опорный участок, вероятно, расположен в пределах границы древнего размыва. Под водоупором здесь находится разрушенная зона с карстовыми полостями и крупными провалами. Водоотбор карстовых вод обусловил вынос заполнителя полостей и мелкой фракции из разрушенных зон. Это способствовало росту карстовых полостей. Некоторое изменение режима водоотбора в последние годы нарушило напряженное состояние пород в кровле полостей и явилось одной из причин образования провалов в короткий промежуток времени. В пользу обвальной схемы провалообразования говорят морфологические особенности провалов (см.рис.3,б), необъяснимые гипотезой о влиянии различных геологических условий на форму провалов [7]. Близкие размеры диаметров крупных провалов (11–14 м) свидетельствуют об обвальной форме их образования при достижении полостями критических размеров. Своевобразие группировки провалов говорит о возможном влиянии гидродинамического удара на образование некоторых провалов с обрушением их кровли. Такой механизм неоднократно отмечался в исследуемом районе.

Изложенные выше факты свидетельствуют, что основным процессом провалообразования на участке является обвальный. Выявлены следующие общие закономерности его развития.

1. Уменьшение количества провалов при увеличении мощности глин. До мощности глин 15 м плотность карстовых форм меняется незначительно. Наблюдается снижение активности провального процесса на участках, где пески непосредственно залегают на глинах.
2. Скорость провалообразования за последние 30 лет относительно постоянная. Она составляет около 30 провалов за каждые 10 лет.
3. Наличие провалов всех морфологических типов.
4. Увеличение диаметров провалов при увеличении мощности глин [5].

Л и т е р а т у р а

1. Архидьяконских Ю.В., Ерастов В.С., Кузнецов П.В. и др. О типах разрушения субфлюзационных полостей в обводненных несцементированных обломочных породах // Гидрогеология и карстоведение. Пермь, 1975. С.162–163 (Вып.7).
2. Давыдько Р.Б., Толмачев В.В. Моделирование деформаций рыхлых толщ пород над карстовыми полостями // Инженерные изыскания в строительстве: Сер.15 / ЦНИС. 1977. Вып.6(59). С.28–33.(Реф. сб.).
3. Давыдько Р.Б., Толмачев В.В. Некоторые результаты изучения на моделях деформаций рыхлых водонасыщенных пород над карстовыми полостя-



Р и с. 3. План расположения провалов на опорном участке (а) и их формы (б)

1 – провал, год его образования и номер; 2 – почва; 3 – контуры провалов

ми // Моделирование формирования субфлюзационных и карстовых полостей (Тез. докл. науч. техн. семинара 29–30 ноября 1979 г.). Пермь: Перм. кн.изд-во. 1979. С.54–55.

4. Насонов Л.Н. Механика горных пород и крепление горных выработок. М.: Недра, 1969. 380 с.
5. Толмачев В.В., Карпов Е.Г., Хоменко В.П. и др. Механизм деформаций горных пород над подземными карстовыми формами // Инженерная геология. 1982. №4. С.46–59.
6. Хоменко В.П. Геомеханическая модель провалообразования в необводненных песчаных грунтах // Комплексные инженерно-геологические исследования для промышленного и гражданского строительства. М.: Наука, 1984. С.69–74.
7. Хоменко В.П., Зиангиров Р.С. Экспериментальное изучение закономерностей формирования провалов в песках, перекрывающих карстовые полости // Инженерная геология. 1981. №2. С.72–84.
8. Шахунянц Г.М. Земляное полотно железных дорог. М.: Трансжелдориздат. 1953. 827 с.

УДК 551.435.8:551.44

ИСТОРИЯ РАЗВИТИЯ КАРСТА В НИЗОВЬЯХ ОКИ В ПАЛЕОЗОЙСКО-КАЙНОЗОЙСКОЕ ВРЕМЯ

Е.В.Копосов

Вопросы развития карста в Среднем Поволжье, особенно в бассейне нижней Оки, изучены очень слабо. Анализ рельефа и описание многочисленных обнажений, шурfov и скважин позволяют утверждать, что проявлению карста в бассейне нижней Оки предшествовало длительное и сложное формирование геолого-гидрогеологической обстановки района.

Карстующиеся сульфатно-карбонатные породы (с которыми связаны провалы плеистоцен–голоценового возраста) начали образовываться в ранне-пермскую эпоху. Согласно Н.М.Страхову, это была заключительная стадия регressiveного осадочного цикла, который характеризовался постепенным превращением морского бассейна с нормальной соленостью вод в изолированные и полузамкнутые водоемы лагунного типа с повышенной солоностью вод. В этих водоемах происходило накопление гипсо-ангидритовых и известняково-доломитовых отложений. В результате продолжавшегося подъема Русской платформы породы были выведены на дневную поверхность и на протяжении почти 15 миллионов лет подвергались интенсивному физическому и химическому выветриванию. Поэтому, как справедливо отмечал А.В.Ступинин, создались благоприятные условия для развития карста. В это время получили развитие преимущественно обнаженные карстовые ландшафты тропического климата.

По данным Р.Б.Давыдова, интенсивные тектонические движения в начале поздней перми привели к воздыманию Уральской горной страны и последова-

тельной пульсационной миграции зоны прогибания из зоны передового прогиба в пределы центральной части Русской платформы. Увеличение амплитуды прогибания, по мнению Н.С.Иголкина, В.П.Кирикова, Т.Ю.Кривской, привело в начале казанского века к широкой ингрессии моря Скандинавии в пределы Русской платформы со стороны Притиманья, которое затопило рассматриваемую территорию. Воды казанского моря, видимо, характеризовались изменчивой соленостью, что подтверждается пестрым литологическим составом отложений. Карст в это время не развивался, так как условия для его развития были неблагоприятными. По данным Г.С.Кулинича, Б.И.Фридмана, Е.И.Уланова, А.А.Терентьева, море ушло из пределов изучаемой территории в конце барбашинского времени, и здесь снова установился континентальный режим с активным физическим и химическим выветриванием. Это привело к развитию процессов карста и разрушению горных пород, к уничтожению позднеказанских карбонатных слоев. Согласно В.И.Игнатьеву, в начале татарского века новое прогибание района привело к ингрессии в его пределы внутриплатформенного опресненного моря. Седиментационный бассейн уржумского века установился в основном в пределах контура границ казанского моря. Впервые за позднепермскую геологическую историю речной сток стал осуществляться с двух сторон – с востока (Урал, Тиман) и северо-запада (Балтийский щит, Беломорское плато). Характерной особенностью этого бассейна явилось то, что он развивался и существовал за счет речного стока и заполнялся аллохтонным материалом. Условия для развития карста в это время были неблагоприятными.

Произошедшие на границе ранне- и позднетатарского времени тектонические подвижки в складчатой зоне Палеоурала привели к обновлению палеотектонической структуры и палеогеографических обстановок в смежных с ним областях. Единый уржумский седиментационный бассейн распался на ряд обособленных водоемов с различной соленостью вод. По мнению М.В.Муратова, М.Ф.Микунова, Е.С.Чернова, в течение всего триаса и ранней юры район исследований уже не являлся зоной аккумуляции осадков. Условия развития карста в отличие от предыдущих эпох существенно изменились за счет того, что карбонатно-сульфатные породы покрылись чехлом нерастворимых песчано-глинистых образований. Это затруднило процесс поверхностного выщелачивания и проникновения атмосферных вод в карстующиеся породы.

К началу среднеурской эпохи территория представляла собой плато со сложенными формами рельефа, жарким гумидным климатом. Следы карста этого времени на изучаемой территории не зафиксированы. Однако не исключено, что карстовые формы могли быть уничтожены в период батской трансгрессии. В это время Токмовский свод постепенно погружался, что привело к трансгрессии морского бассейна с севера и юга.

Конец мелового периода явился временем крупной регрессии моря. В конце позднемеловой эпохи и последовавших за ней палеогенового и нео-